

2023 - IC Física de Partículas

Distribuições Partônicas

Parametrizações

Rodrigo Ribamar Silva do Nascimento

Universidade do Estado de Santa Catarina

Introdução

A Estrutura dos Hádrons

DIS

DIS no modelo de Pártons

As Equações de Evolução – DGLAP

Simulação Numérica

Produção de Méson Vetorial

Produção J/ψ com correções da LO

Introdução

A Estrutura dos Hádrons

DIS

DIS no modelo de Pártons

As Equações de Evolução – DGLAP

Simulação Numérica

Produção de Méson Vetorial

Produção J/ψ com correções da LO

Introdução

A Estrutura dos Hádrons

DIS

DIS no modelo de Pártons

As Equações de Evolução – DGLAP

Simulação Numérica

Produção de Méson Vetorial

Produção J/ψ com correções da LO

Introdução

O Modelo Padrão

Introdução

O Modelo Padrão para a Física de Partículas

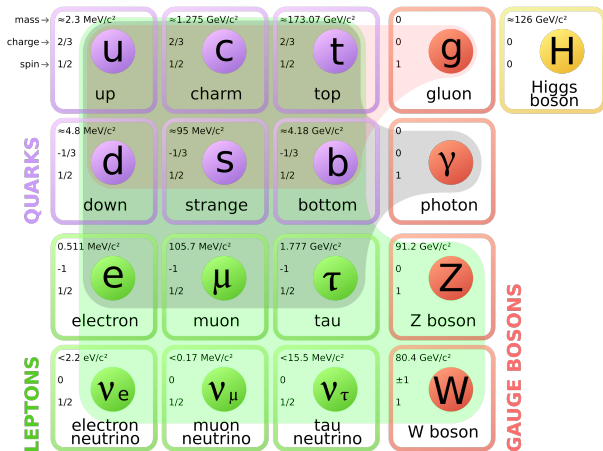


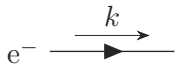
Figura 1: Fonte: (WORKMAN et al., 2022)

DIS

Deep Inelastic Scattering

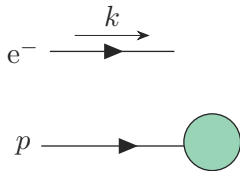
A Estrutura dos Hádrons

Deep Inelastic Scattering



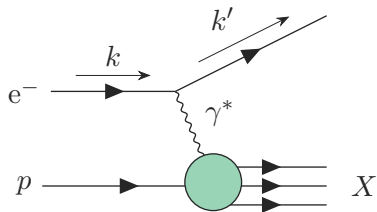
A Estrutura dos Hádrons

Deep Inelastic Scattering



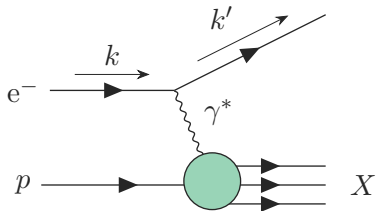
A Estrutura dos Hádrons

Deep Inelastic Scattering



A Estrutura dos Hádrons

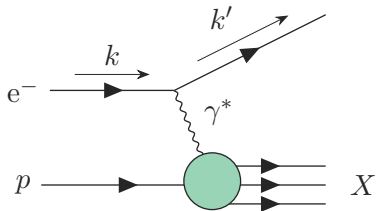
Deep Inelastic Scattering



$$\left. \frac{d\sigma}{d\Omega dE'} \right|_{ep \rightarrow eX} = \left(\frac{\alpha^2}{4E^2 \sin^4 \theta / 2} \right) \frac{1}{4EE'} L_{(L)}^{\mu\nu} W_{\mu\nu}^{(H)}$$

A Estrutura dos Hádrons

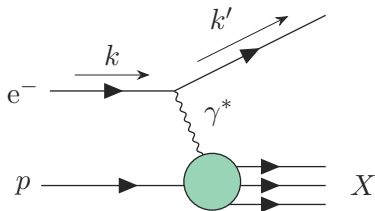
Deep Inelastic Scattering



$$\left. \frac{d\sigma}{d\Omega dE'} \right|_{ep \rightarrow eX} = \left(\frac{4\alpha^4 E'^2}{q^4} \right) \left[2 \sin^2 \frac{\theta}{2} W_1(\nu, Q^2) + \cos^2 \frac{\theta}{2} W_2(\nu, Q^2) \right]$$

A Estrutura dos Hádrons

Deep Inelastic Scattering

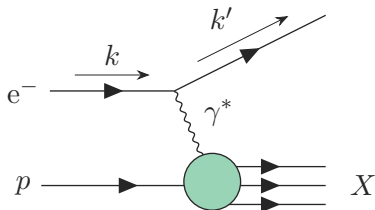


$$\left. \frac{d\sigma}{d\Omega dE'} \right|_{ep \rightarrow eX} = \left(\frac{4\alpha^4 E'^2}{q^4} \right) \left[2 \sin^2 \frac{\theta}{2} W_1(\nu, Q^2) + \cos^2 \frac{\theta}{2} W_2(\nu, Q^2) \right]$$

$$\left. \begin{aligned} s &\equiv (p + k)^2 = E_{cm}^2, \\ t &\equiv (k - k')^2 = -Q^2, \\ u &\equiv (k - p_x)^2 \end{aligned} \right\}$$

A Estrutura dos Hádrons

Deep Inelastic Scattering



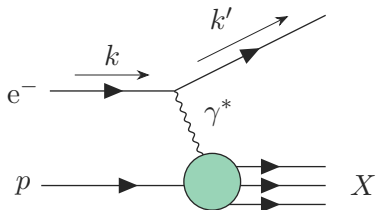
$$\left. \begin{aligned} s &\equiv (p + k)^2 = E_{cm}^2, \\ t &\equiv (k - k')^2 = -Q^2, \\ u &\equiv (k - p_x)^2 \end{aligned} \right\}$$

$$\left. \frac{d\sigma}{d\Omega dE'} \right|_{ep \rightarrow eX} = \left(\frac{4\alpha^4 E'^2}{q^4} \right) \left[2 \sin^2 \frac{\theta}{2} W_1(\nu, Q^2) + \cos^2 \frac{\theta}{2} W_2(\nu, Q^2) \right]$$

$$s + t + u = M^2 + W^2$$

A Estrutura dos Hádrons

Deep Inelastic Scattering



$$\left. \begin{aligned} s &\equiv (p + k)^2 = E_{cm}^2, \\ t &\equiv (k - k')^2 = -Q^2, \\ u &\equiv (k - p_x)^2 \end{aligned} \right\}$$

$$\frac{d\sigma}{d\Omega dE'} = \frac{1}{s + u} \left(\frac{4\pi\alpha^2}{s^2 t^2} \right) \times \\ \times \left[-(s + u)t M W_1(\nu, Q^2) + \right. \\ \left. - u s \nu W_2(\nu, Q^2) \right]$$

$$s + t + u = M^2 + W^2$$

A Estrutura dos Hádrõs

DIS no Modelo de Partons

Stanford Linear Accelerator - SLAC (1960)

$$\lim_{Q^2, \nu \rightarrow \infty} MW_1(\nu, Q^2) \approx F_1(x)$$

$$\lim_{Q^2, \nu \rightarrow \infty} \nu MW_2(\nu, Q^2) \approx F_2(x)$$

A Estrutura dos Hádrons

DIS no Modelo de Partons

Stanford Linear Accelerator - SLAC (1960)

$$\lim_{Q^2, \nu \rightarrow \infty} MW_1(\nu, Q^2) \approx F_1(x)$$

$$\lim_{Q^2, \nu \rightarrow \infty} \nu MW_2(\nu, Q^2) \approx F_2(x) \implies x \equiv \frac{Q^2}{2M\nu}$$

A Estrutura dos Hádrons

DIS no Modelo de Partons

Stanford Linear Accelerator - SLAC (1960)

$$\lim_{Q^2, \nu \rightarrow \infty} MW_1(\nu, Q^2) \approx F_1(x)$$

$$\lim_{Q^2, \nu \rightarrow \infty} \nu MW_2(\nu, Q^2) \approx F_2(x) \implies x \equiv \frac{Q^2}{2M\nu}$$

$$\sigma_L^{\gamma^* p} = \frac{4\pi^2\alpha}{Q^2} \left[F_2(x, Q^2) - 2xF_1(x, Q^2) \right]$$

$$\sigma_T^{\gamma^* p} = \frac{4\pi^2\alpha}{Q^2} \left[2xF_1(x, Q^2) \right]$$

A Estrutura dos Hádrons

DIS no Modelo de Partons

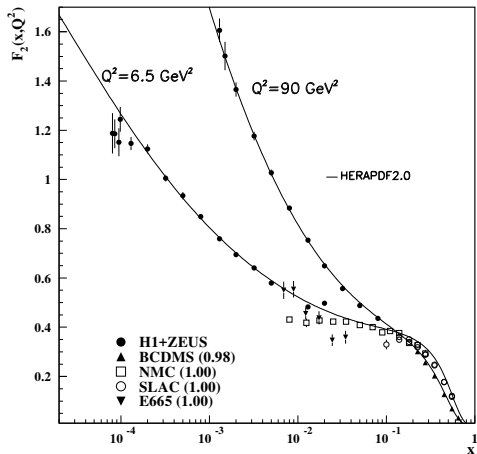
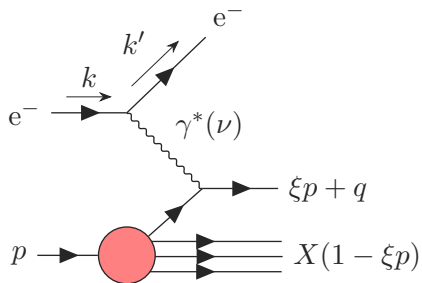


Figura 2: Fonte: (WORKMAN et al., 2022)

A Estrutura dos Hádrons

DIS no Modelo de Partons

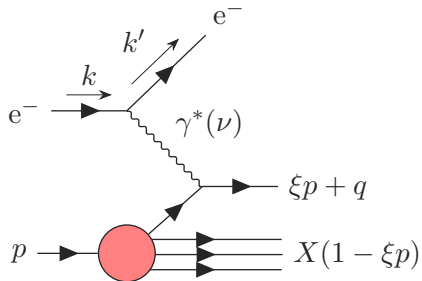


Função Densidade Partônica (PDF):

$$\sum_q \xi_q p = p$$

A Estrutura dos Hádrons

DIS no Modelo de Partons



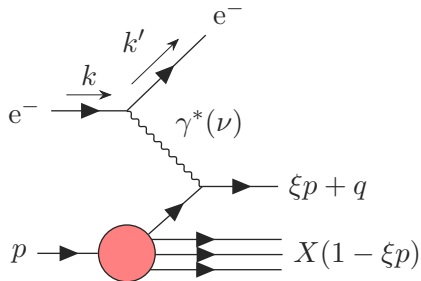
Função Densidade Partônica (PDF):

$$\sum_q \xi_q p = p$$

$$m_q^2 = (\xi p + q)^2 = 0$$

A Estrutura dos Hádrons

DIS no Modelo de Partons



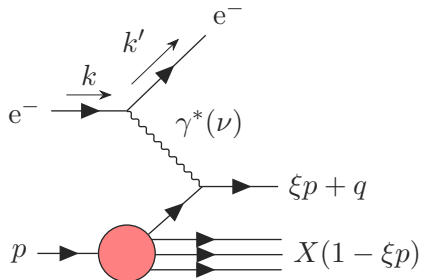
Função Densidade Partônica (PDF):

$$\sum_q \xi_q p = p$$

$$m_q^2 = (\xi p + q)^2 = 0 \implies \boxed{\xi = x}$$

A Estrutura dos Hádrons

DIS no Modelo de Partons



Função Densidade Partônica (PDF):

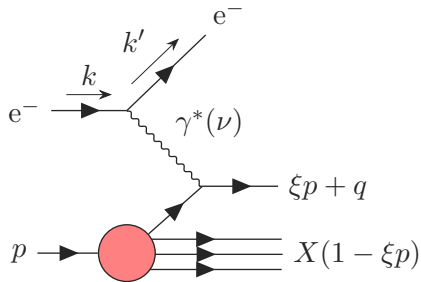
$$\sum_q \xi_q p = p$$

$$m_q^2 = (\xi p + q)^2 = 0 \implies \boxed{\xi = x}$$

$$\sigma^{\gamma^* p} = \sum_q \int_0^1 d\xi f_q(\xi) \hat{\sigma}_{L,T}^{\gamma^* p}$$

A Estrutura dos Hádrons

DIS no Modelo de Partons



Função Densidade Partônica (PDF):

$$\sum_q \xi_q p = p$$

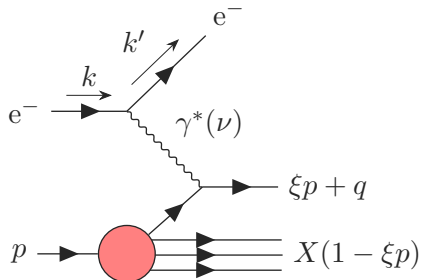
$$m_q^2 = (\xi p + q)^2 = 0 \implies \boxed{\xi = x}$$

$$\sigma_L^{\gamma^* p}(x, Q^2) = 0$$

$$\sigma_T^{\gamma^* p}(x, Q^2) = \frac{4\pi^2\alpha}{Q^2} 2x F_1(x, Q^2)$$

A Estrutura dos Hádrons

DIS no Modelo de Partons



Função Densidade Partônica (PDF):

$$\sum_q \xi_q p = p$$

$$m_q^2 = (\xi p + q)^2 = 0 \implies \boxed{\xi = x}$$

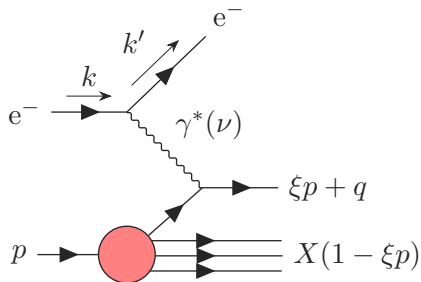
$$\sigma_L^{\gamma^* p}(x, Q^2) = 0 \implies$$

$$F_2(x, Q^2) = 2xF_1(x, Q^2)$$

$$\sigma_T^{\gamma^* p}(x, Q^2) = \frac{4\pi^2\alpha}{Q^2} 2xF_1(x, Q^2)$$

A Estrutura dos Hádrons

DIS no Modelo de Partons



Função Densidade Partônica (PDF):

$$\sum_q \xi_q p = p$$

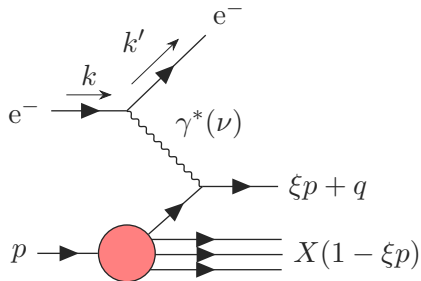
$$m_q^2 = (\xi p + q)^2 = 0 \implies \boxed{\xi = x}$$

$$\sigma^{\gamma^* p} = \frac{4\pi^2\alpha}{Q^2} \sum_q \int_0^1 d\xi f_q(\xi) e_q^2 \delta\left(1 - \frac{x}{\xi}\right)$$

$$\sigma^{\gamma^* p} = \frac{4\pi^2\alpha}{Q^2} \sum_q e_q^2 x f_q(x)$$

A Estrutura dos Hádrons

DIS no Modelo de Partons



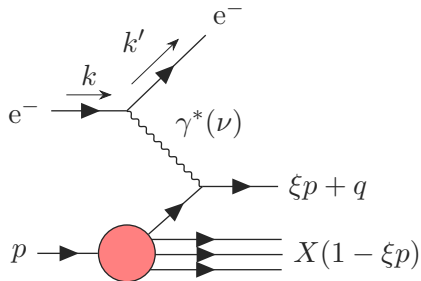
Função Densidade Partônica (PDF):

$$\sum_q \xi_q p = p$$

$$m_q^2 = (\xi p + q)^2 = 0 \implies \boxed{\xi = x}$$

A Estrutura dos Hádrons

DIS no Modelo de Partons



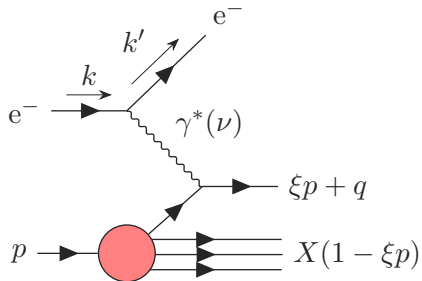
Função Densidade Partônica (PDF):

$$\sum_q \xi_q p = p$$

$$m_q^2 = (\xi p + q)^2 = 0 \implies \boxed{\xi = x}$$

A Estrutura dos Hádrons

DIS no Modelo de Partons



A Estrutura dos Hádrons

DIS no Modelo de Partons

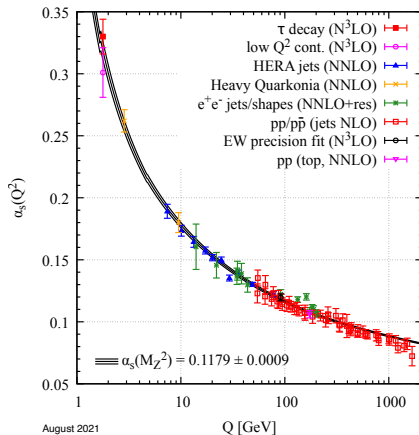
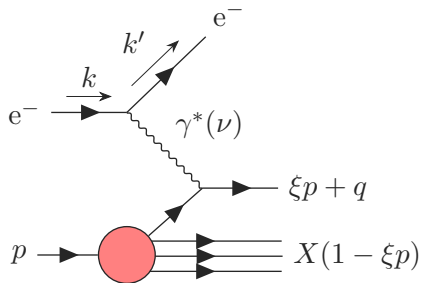

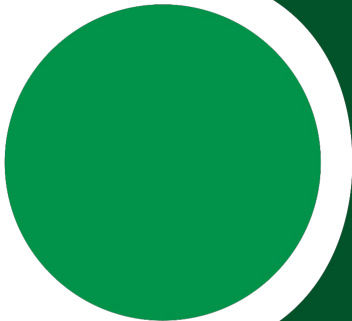


Figura 2: Fonte: (WORKMAN et al., 2022)

 WORKMAN, R. L. et al. Review of particle physics. **PTEP**, v. 2022, p. 083C01, 2022.



Contato:
Rodrigo Ribamar Silva do Nascimento
rodrigo.nascimento@edu.udesc.br
github.com/physikices